



14-30-FM-60. Facies muy desorganizadas con capas arenosas reducidas a fragmentos y elevada proporción de fango. 2 Km al Sur de Orellanita.



14-30-FM-61. Facies desorganizadas. En menor grado que las de la foto anterior con restos de capas arenosas y fragmentos de cuarzo procedentes de pequeñas vetas previas a la desorganización y resedimentación. 2 Km al Sur de Orellanita.



14-30-FM-62. Cuarcitas y pizarras del Grupo Cantera (Caradoc), en los que se distinguen secuencias tempestíticas (centro de la foto). Carretera Talarrubias-Valdecaballeros, Km 29.



14-30-FM-63. Formación pelitas con fragmentos situada, en este caso, bajo la cuarcita de Criadero. Inmediaciones del Km 28,5 de la carretera de Valdecaballeros a Talarrubias.



14-30-FM-64. Gravas de la terraza inferior del río Cubilar, en su cruce con la carretera de Obando a Guadalupe. Bajo dichas gravas afloran las arcillas y limos de la Formación Madrigalejo.



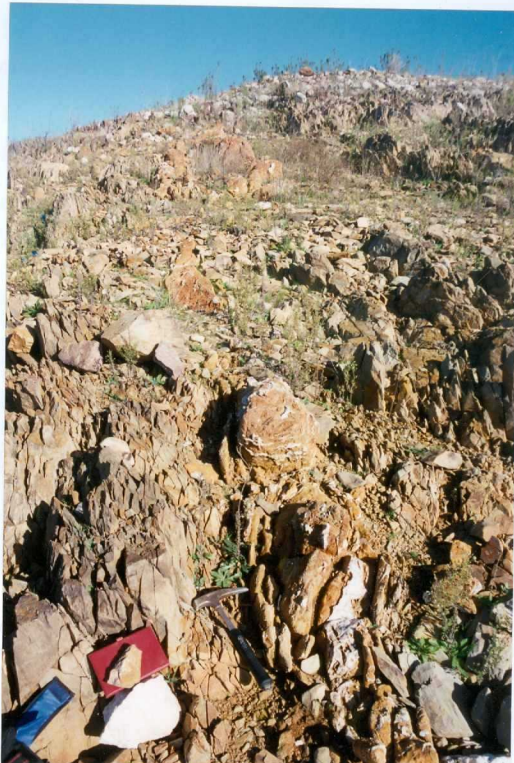
14-30-FM-65. Grauvacas y pizarras del Grupo Inferior (Rifeense) con esquistosidad de 1<sup>a</sup> fase doblada por un pliegue de 3<sup>a</sup> fase con dirección N-S. Inmediaciones del Puerto de La Langosta, al Sur de Orellana de la Sierra.



14-30-FM-66. Otro aspecto del mismo afloramiento correspondiente a la foto anterior. Pliegue  $B_3$  dobrando a  $S_0$  y  $S_1$ , con su flanco izquierdo transpuesto por una fractura N40°E (centro de la foto). En conjunto, se trata de una deformación frágil dúctil de la 3<sup>a</sup> fase hercínica.



14-30-FM-67. Refracción de la esquistosidad  $S_1$  a través de  $S_0$ . En las inmediaciones de la foto anterior.



14-30-FM-68. Lámina de carbonato, de unos 8 m de longitud incluida dentro de un tramo del Grupo II (Véndico). Orilla del embalse de Orellana al Sur de la Sierra de Pela.



14-30-FM-69. Desarrollo incipiente (esquistosidad grosera) de  $S_1$  en niveles pelíticos, con una dirección oblicua a la de la  $S_0$ , por haber un plegamiento prehercínico. En las inmediaciones de la foto anterior.



14-30-FM-70. Falla frágil-dúctil ( $N110^{\circ}E$ ) con cuarzo estirado y "arrosariado" en la zona de falla. Las capas muestran un doblamiento por arrastre que indica un movimiento senextro. Camino de Orellana a Hinojosa del Duque, en su cruce con el Ayo. del Catalán.



14-30-FM-71. Conglomerados del Grupo Superior (Vendiense) en el flanco NE del Sinclinal de 1<sup>a</sup> fase de la Sierra de la Zaruela. Al nivel del embalse y el collado de la izquierda de la foto, aparecen grandes pliegues prehercónicos casi perpendiculares al sinclinal mencionado.



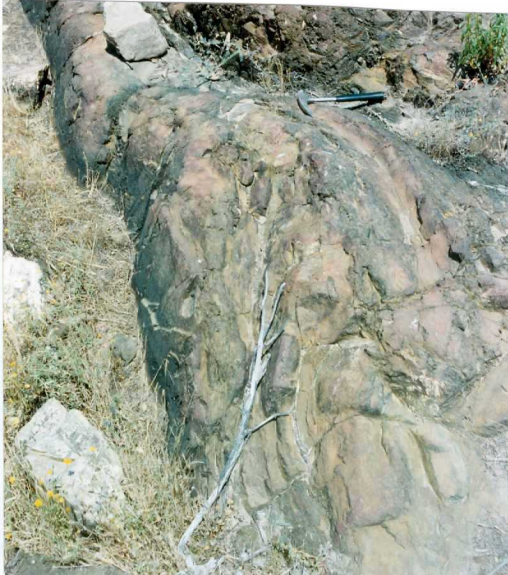
14-30-FM-72. Puente sobre el Guadiana en el embalse de Orellana, en la línea correspondiente a una de las cizallas NO-SE, que en este caso aparece jalonada por grandes duplex verticales de cuarcita Armoricana y otros materiales del Vendieñse.



14-30-FM-73. Depósitos tipo glacis de cobertura (Cuaternario medio) cubriendo un zócalo de pizarras y grauvacas con fuerte alteración ocre. Ayo. Hermoso, al Este de Navalvillar.



14-30-FM-74. Grandes bancos de Conglomerados del Vendieñse en el flanco nororiental del Sinclinal de la Sierra de la Zarzuela.



14-30-FM-75. Mesopliegue anticinal prehercínico con dirección N-S en su sector más meridional, pero que en su extremo Norte aparece girado y reapretado por el plegamiento hercínico de 1<sup>a</sup> fase. Inmediaciones de la Casa de la Calera, en el Sinclinal de la Sierra de la Zarzuela.



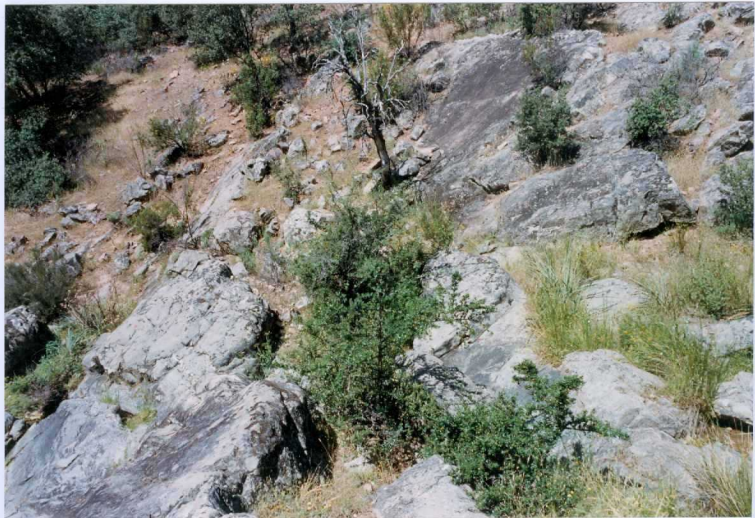
14-30-FM-76. Tramo de pelitas y areniscas masivas del Grupo Inferior (Rifeense). Paraje de La Cañamera, al Oeste de Talarrubias.



14-30-FM-77. Nivel de cumbres del flanco meridional del Sinclinal de Herrera. Bajo él los rellanos correspondientes a los ápices de los "abanicos ocres". En el centro, el río Guadiana y el Canal de las Dehesas. Vista desde las Casas de La Zuhilla.



14-30-FM-78. Excavación en las gravas cuarcíticas del techo del abanico ocre (raña o lecho de pie de monte). En las inmediaciones de La Zuhilla.



14-30-FM-79. Bandas de conglomerados (grandes cañales) en tramos altos del Grupo Inferior (Rifeense). Aparecen volcados al Norte. Ayo. Membrillo en Las Casas de las Veras.



14-30-FM-80. Conglomerados del Rifeense (Grupo Inferior) en posición invertida, aunque con esquistosidad de "strain slip" producida por deslizamiento entre los bancos de conglomerado, los cuales presentan un buzamiento inferior que el de dicha esquistosidad.



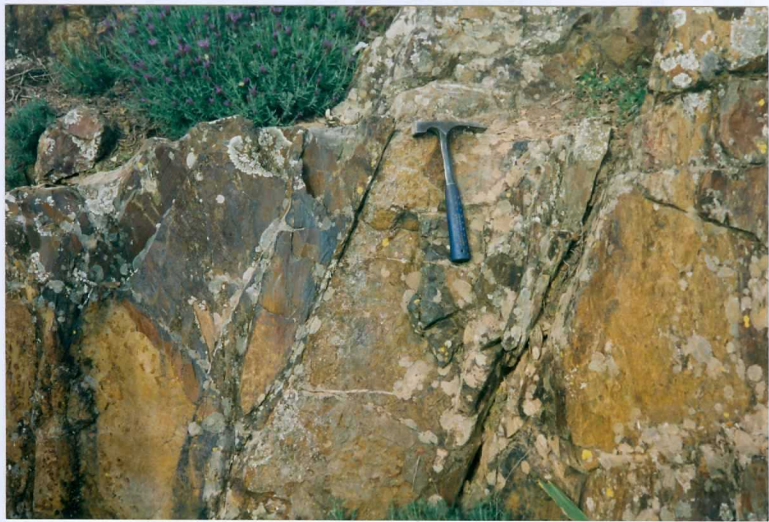
14-30-FM-81. Banco de grauvaca con un pliegue de eje vertical producido por arrastre junto a una fractura N110°E con movimiento direccional senextro. Paraje de las Setecientas.



14-30-AD-LE-500. Conglomerados basales de la Formación Madrigalejo.



14-30-AD-LE-501. Contacto del Precámbrico Superior y el Tremadoc (izquierda) con sedimentos de colores rojo vinosos (lie de vin). Carretera nueva de Orellana a Navalvillar de Pela a la altura de Orellana de la Sierra.



14-30-AD-LE-503. Aspecto de la Cizalla del Olivarón-Maribañez a la altura del Cortijo Maribañez. Se observa un paquete de brechas sin deformación dúctil con vergencia al Sur representativa de la traza Este-Oeste con que esta estructura bordea a la Sierra de Pela.



14-30-AD-LE-504. Panorámica del Precámbrico Superior del borde oriental de la Sierra de Pela. Al primer horizonte con alineación muy marcada son los relieves de las series del Paleozoico (Tremadoc-Arenig) que orlan la cizalla con dirección N140°E. Olivarón-Maribañez.



14-30-AD-LE-505. Conglomerados del Vendieñse en el sinclinal de la Mezquita, estructurados por el paso de la cizalla. Olivarón-Maribanez.



14-30-AD-LE-506. Canal de vulcanoarenitas en el Tramo II (turbiditas) del Precámbrico. En las del canal se instala una colada de rocas básicas, a partir de la cual se originan las vulcanoarenitas de las capas con estratificación cruzada en surco.



14-30-AD-LE-507. Detalle de la roca volcánica básica anterior con "glándulas" de cuarzo subidiomorfos.

14-30-AD-LE-508.

La serie Vendieñense en el sinclinal de Cerro Gordo. Facies alternantes de cuarzoarenitas, con ripples con cara de avalancha y fangolitas con linsen e intensa bioturbación. Tramo con icnofauna abundante y Vendotaenia.





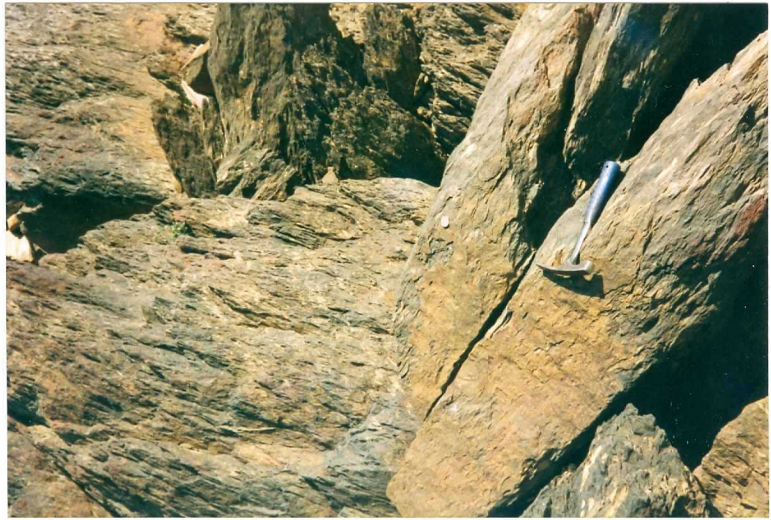
14-30-AD-LE-509. Contacto Rifeense Superior-Vendiente en el Sinclinal de Sierra del Integral. Se observa el profundo surco erosivo del canal de areniscas sobre las turbiditas diluidas del Tramo II del Rifeense Superior.



14-30-AD-LE-510. La misma serie que la foto anterior, en la que se observa la serie completa del tramo inferior del Vendiene. Canal de areniscas, pelitas con fragmentos (intraclastos) de vulcanoarenitas y litarenitas y al fondo los resalte de los conglomerados.



14-30-AD-LE-511. Paquetes de pelitas gris oscuras con intraclastos diversos (mud flow). Vendiense del Sinclinal de la Sierra del Integral.



14-30-AD-LE-512. Un aspecto global del tramo de pelitas negras con intraclastos (mud flow). Vendiense del Sinclinal de la Sierra del Integral.



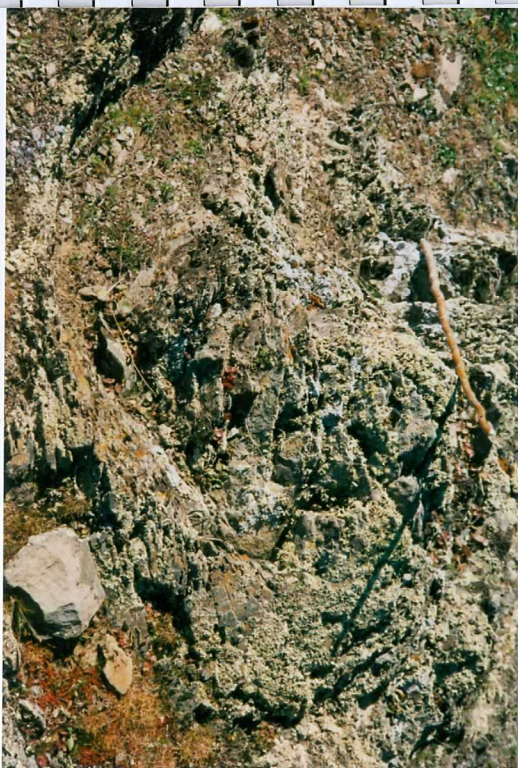
14-30-AD-LE-513. Calizas dolomíticas y dolomías ankeríticas en el cierre perisinclinal del Vendiente de la Sierra del Integral.



14-30-AD-LE-515. Tempestitas del Grupo Cantera en el barranco de la Empedrada. Alternancia de tempestitas de tipo PHX y PHM. En menor medida hay ejemplos de tipo BPHM con acúmulos bioclásticos ferruginosos en el término B.



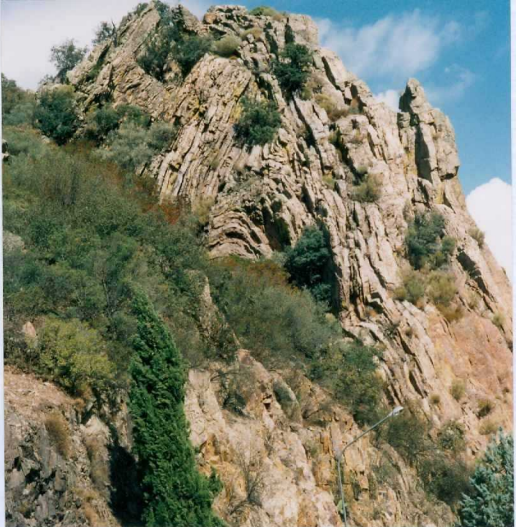
14-30-AD-LE-516. En los materiales del G.D.E. se observa un pliegue de 1<sup>a</sup> fase hercínica de dirección N-S de gran amplitud de onda en donde la disposición previa de  $S_0$  era horizontal.



14-30-AD-LE-517 y 518. Mesopliques de la 1<sup>a</sup> fase hercínica en los materiales Rifeenses de la Formación Estomiza (G.D.E.). Son pliegues de ejes muy verticalizados debido a una disposición previa de  $S_0$  con un fuerte ángulo con la horizontal, lo que demuestra que existía un plegamiento previo.



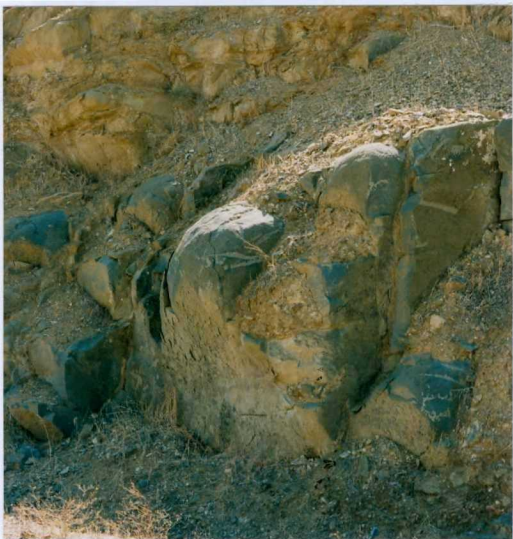
14-30-AD-JM-600. Aspecto frecuente de los resalte de la Cuarcita Armoricana en el flanco meridional del Sinclinal de Herrera.



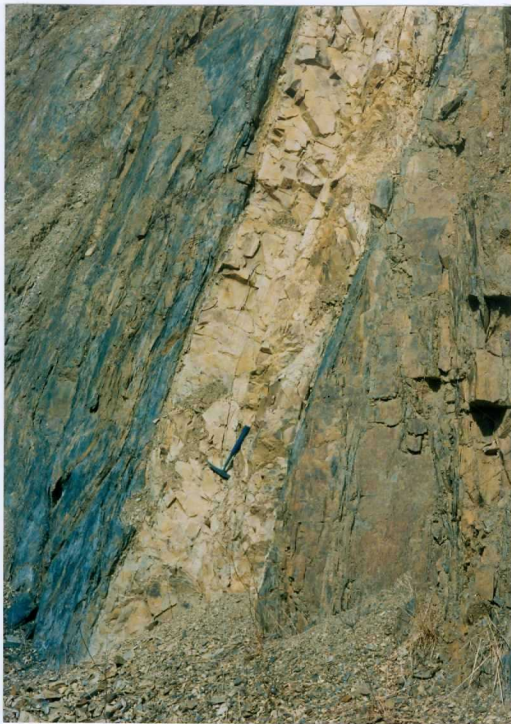
14-30-AD-JM-601. Miembro medio de la Cuarcita Armoricana. Pliegues de 1<sup>a</sup> fase hercínica de tipo cilíndrico con desplazamiento de capas. Obsérvese los "huecos" que se originan en la zona de charnela de dichos pliegues.



14-30-AD-JM-605. Rocas básicas interestratificadas en la Formación Orellana (Rifeense Superior).  
Talud del Canal de las Dehesillas.



14-30-AD-JM-606. Detalle de la foto anterior con estructuras pillow.



14-30-AD-JM-607. Dique de roca ácida (felsita). En detalle se observa que corta a  $S_0$  de los materiales Rifeenses y está afectado por la esquistosidad primera hercínica.



14-30-AD-JM-608. Pliegue de 1<sup>a</sup> fase hercínica sobre materiales del Rifeense Superior. Se observa un estilo de plegamiento de gran amplitud en la longitud de onda. La esquistosidad ( $S_1$ ) de plano axial es subvertical. La linearidad de intersección entre  $S_0$  y  $S_1$  buza 40° al NO.



14-30-AD-JM-609. Panorámica del Véndico en el Sinclinal de la Calera. Obsérvese el estilo de plegamiento suave en dichos materiales.



14-30-AD-JM-610. Afloramiento de los materiales de la serie Véndica en el Sinclinal de la Calera visto desde el Norte. En primer horizonte, facies de conglomerados matriz soportados del Tramo inferior del Véndico.



14-30-AD-JM-611. Detalle de las capas carbonatadas del paquete superior de dicho tramo Véndico.



14-30-AD-JM-612. Aspecto del paquete basal de la Serie Véndica con intercalación de canales discontinuos de conglomerados granosportados con cantos de cuarzo-cuarcita.